

Séminaire : Equations différentielles

projet 2 : Télésopes

Liliana Canosa Alves, Lucile Alys Favero, Nicolas Schaub

November 1, 2022

- Section de mathématiques - Semestre automne

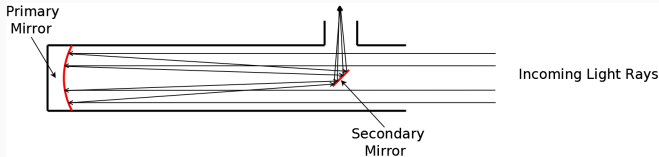
Ce projet modélise le test: "**Foucault Knife Edge Test**"

Un test communément utilisé par les astronautes amateurs pour la construction d'un miroir pour les télescopes réfléchissant.

1. Comment fonctionne un télescope ?
2. Fabrication d'un des miroirs du télescope
3. Le test FKET
4. Comment le test permet-il de vérifier la forme du miroir ?
5. Trois exemples théoriques
6. Problème pratique

**Comment fonctionne un
téléscope ?**

Comment fonctionne un télescope ?

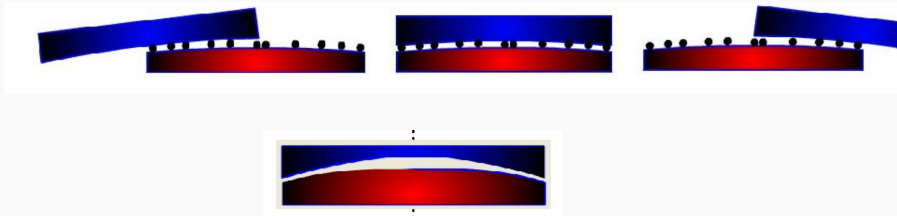


Pour former l'image, le miroir primaire doit être de forme parabolique avec une précision très élevée.

Fabrication d'un des miroirs du téléscope

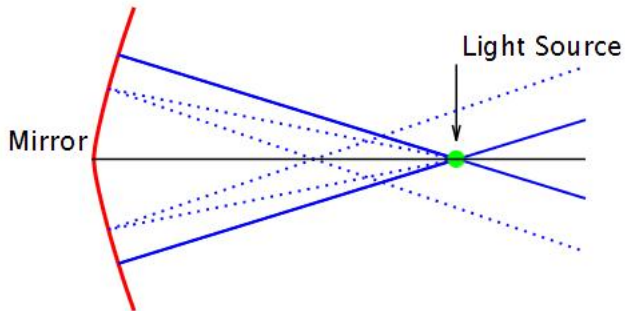
Fabrication d'un des miroirs du télescope

- Deux disques en verres
- Sur une surface immobile
- De l'eau et des grains abrasifs entre les disques
- Mouvements



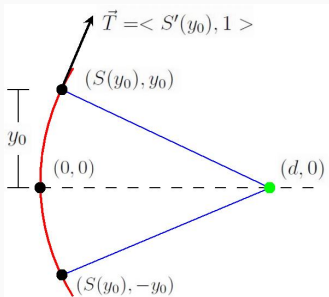
Le test FKET

Le test FKET



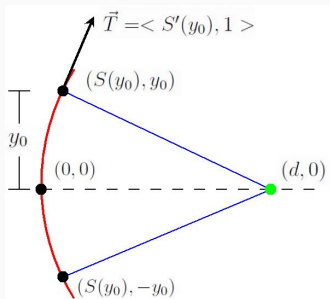
Le test FKET

- $x = S(y), \quad S(0) = 0$
- $-R < y < R, \quad R > 0$
- Par hypothèse de symétrie : $S(y) = S(-y)$
- But : Relever les distances d pour tout y



**Comment le test permet-il de
vérifier la forme du miroir ?**

Comment permet-il de vérifier la forme du miroir ?



- $\vec{v} = (S(y_0) - d, y_0)$
- $\vec{T} = (S'(y_0), 1)$

$$\begin{aligned}\vec{v} \perp \vec{T} &\iff \begin{pmatrix} S(y) - d(y) \\ y \end{pmatrix} \begin{pmatrix} S'(y) \\ 1 \end{pmatrix} = 0 \\ &\iff (S(y) - d(y))S'(y) + y = 0 \\ &\iff S'(y) = \frac{-y}{S(y) - d(y)} = \frac{y}{d(y) - S(y)}\end{aligned}$$

Trois exemples théoriques

Un exemple simple

Un exemple avec $d(y) = 1.5$, $\forall y$.

La résolution devient :

$$\begin{aligned} S'(y) = \frac{y}{d - S(y)} &\iff \frac{dS(y)}{dy} = \frac{y}{d - S(y)} \\ &\iff dS(y)(d - S(y)) = ydy \\ &\iff \int dS(y)(d - S(y)) = \int ydy \\ &\iff dS(y) - \frac{S(y)^2}{2} = \frac{y}{2} + c \\ &\iff -\frac{S(y)^2}{2} dS(y) - \frac{y}{2} - c = 0 \end{aligned}$$

Un exemple simple

$$\begin{aligned}\Delta &= d^2 - 4\left(-\frac{1}{2}\right)\left(-\frac{S(y)^2}{2} - c\right) = d^2 - y^2 - 2c = d^2 - y^2 - c' \\ \Rightarrow S(y)_{1,2} &= \frac{-d \pm \sqrt{d^2 - y^2 + c'}}{2\left(-\frac{1}{2}\right)} = d \pm \sqrt{d^2 - y^2 + c'}\end{aligned}$$

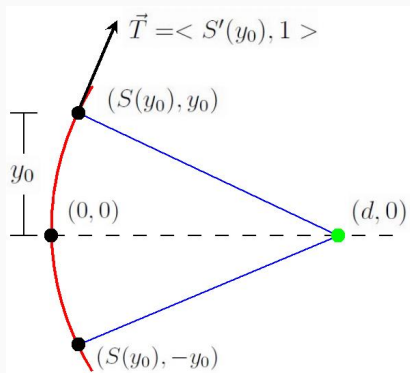
$$\Rightarrow S(0) = 0 \Rightarrow S_1(0) = d + \sqrt{d^2 + c'} = 0$$

$$S_2(0) = d - \sqrt{d^2 + c'} = 0 \Rightarrow c' = 0$$

Donc $S(y) = d - \sqrt{d^2 - y^2}$ avec $d(y) = 1.5 \quad \forall y$

Forme sphérique du miroir

Explication géométrique



Supposons que $d(y)$ est une fonction raisonnable
ie. continûment différentiable et $d(y) \geq M > 0$ M constant.

Il est possible alors d'affirmer que l'équation différentielle
 $S'(y) = \frac{-y}{S(y)-d(y)} = \frac{y}{d(y)-S(y)}$ possède une unique solution avec $S(0)$

Théorème existence et unicité

Théorème. Soit $f(x, y)$ une fonction à valeur réelle continue sur le rectangle

$$R = \{(x, y) : |x - x_0| \leq a, |y - y_0| \leq b\}.$$

Supposons que f a une dérivée partielle par rapport à y et que cette dérivée partielle $\partial f / \partial y$ est également continue sur le rectangle R . Il existe alors un intervalle

$$I = [x_0 - h, x_0 + h] \text{ (avec } h \leq a)$$

de telle sorte que le problème de la valeur initiale

$$\frac{dy}{dx} = f(x, y), \quad y(x_0) = y_0$$

a une solution unique $y(x)$ définie sur l'intervalle I .

Deuxième exemple théorique

Supposons maintenant que : $d(y) = \frac{1}{2} + y^2$.

On va trouver des approximations numériques et la solution exacte.

Rappelons trois méthodes pour approximer la solution d'une équation différentielle de la forme :

$$\frac{dy}{dx} = f(x, y), \quad y(x_0) = y_0$$

- **Méthode d'Euler**
- **Méthode Euler améliorée**
- **Méthode Runge-Kutta du quatrième ordre**

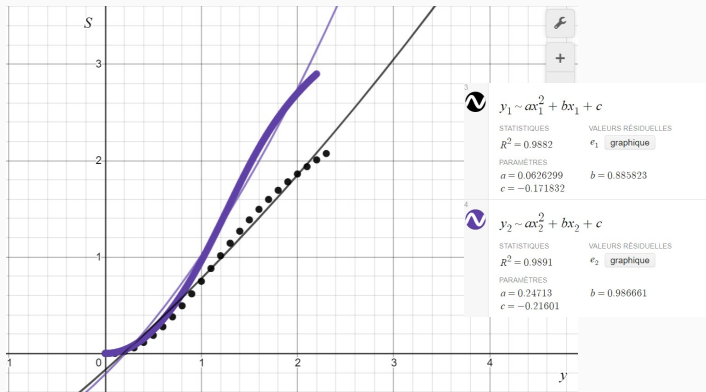
- Implémentation sur Excel
- Tracer les points obtenus sur Desmos
- Analyse de régression parabolique sur Desmos : trouver les paramètres de la parabole qui correspondent le mieux aux données

Méthode d'Euler

$y_{n+1} = y_n + hf(x_n, y_n) \quad n = 0, 1, 2, \dots$ où $h > 0$ est la taille du pas.

Ici, on a : $y \rightarrow S(y)$ et $x \rightarrow y$

$$S_{n+1} = S_n + h \frac{y_n}{d - S_n}$$

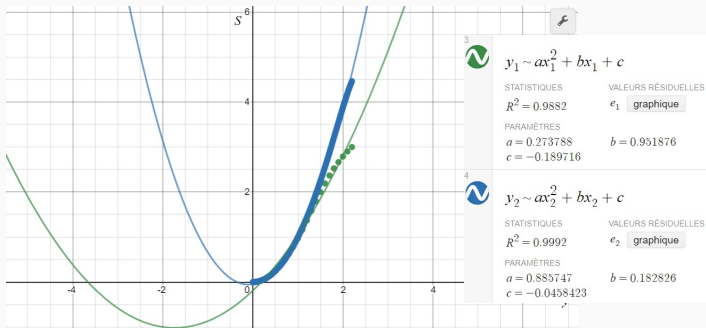


Méthode d'Euler améliorée

$$y_{n+1} = y_n + \frac{h}{2} [f(x_n, y_n) + f(x_n + h, y_n + hf(x_n, y_n))]$$

Ici :

$$S_{n+1} = S_n + \frac{h}{2} \left(\frac{y_n}{d - S_n} + \frac{y_n + h}{d - (S_n + h \frac{y_n}{d - S_n})} \right)$$



$$\begin{aligned}y_{n+1} &= y_n + \frac{1}{6} (k_1 + 2k_2 + 2k_3 + k_4) \\k_1 &= hf(x_n, y_n), \\k_2 &= hf(x_n + h/2, y_n + k_1/2), \\k_3 &= hf(x_n + h/2, y_n + k_2/2), \\k_4 &= hf(x_n + h, y_n + k_3).\end{aligned}\tag{1}$$

Méthode Runge-Kutta du quatrième ordre

Ici :

$$S_{n+1} = S_n + \frac{1}{6} (k_1 + 2k_2 + 2k_3 + k_4)$$

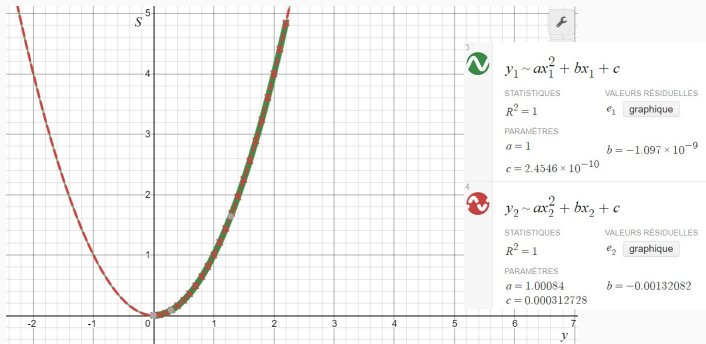
$$k_1 = h \frac{y_n}{d - S_n},$$

$$k_2 = h \frac{y_n + \frac{h}{2}}{d - (S_n + \frac{k_1}{2})},$$

$$k_3 = h \frac{y_n + \frac{h}{2}}{d - (S_n + \frac{k_2}{2})},$$

$$k_4 = h \frac{y_n + h}{d - (S_n + k_3)}.$$

Méthode Runge-Kutta du quatrième ordre



Confrontation des méthodes

La méthode de Runge-Kutta est la plus précise. On obtient approximativement : $S(y) = y^2$

Method	CPU Time (s)
Improved Euler	8×10^{-6}
Midpoint	8×10^{-6}
RK4	0.00001

1. Wolfram : $-\frac{1}{2} W\left(\alpha e^{2y^2+c_1}\right) + y^2$ avec :
 - $\alpha = -0.367879$
 - W : La fonction transcendantale de Lambert
 - Réciproque de $f(\omega) = \omega e^\omega$
 - $W(z) = \omega$ tel que $z = \omega e^\omega$
2. $S(y) = y^2$ est une solution particulière
3. Par unicité de la solution, en mettant à égalité les deux solutions :

$$W\left(\alpha e^{2y^2+c_1}\right) = 0$$

4. Trouver c_1 :

$$W(z)e^\omega = \omega e^\omega = z = 0 \Rightarrow z = 0 \quad \alpha e^{2y^2+c_1} = 0 \Rightarrow c_1 = -\infty$$

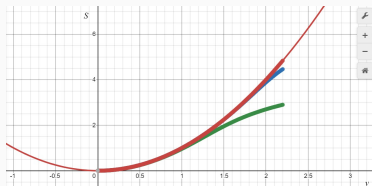
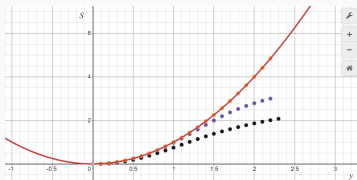
Comparaison : méthodes numériques et solution exacte

Graphique des différentes méthodes numériques avec la solution exacte

$$S(y) = y^2$$

Comparaison : méthodes numériques et solution exacte

Graphique des différentes méthodes numériques avec la solution exacte
 $S(y) = y^2$



La **méthode de Runge-Kutta d'ordre 4** est la meilleure car ses points approximent le mieux la parabole.

Cas plus complexe

Supposons maintenant que : $d(y) = \frac{1}{4} + y^2$

1. Solution Wolfram :

$$S(y) = -0.5W(-0.303265e^{2y^2}) + y^2 - 0.25,$$

avec : $W(z) = \omega$ tel que $z = \omega e^{\omega}$ (Réciproque de $f(\omega) = \omega e^{\omega}$)

Cas plus complexe

Supposons maintenant que : $d(y) = \frac{1}{4} + y^2$

1. Solution Wolfram :

$$S(y) = -0.5W(-0.303265e^{2y^2}) + y^2 - 0.25,$$

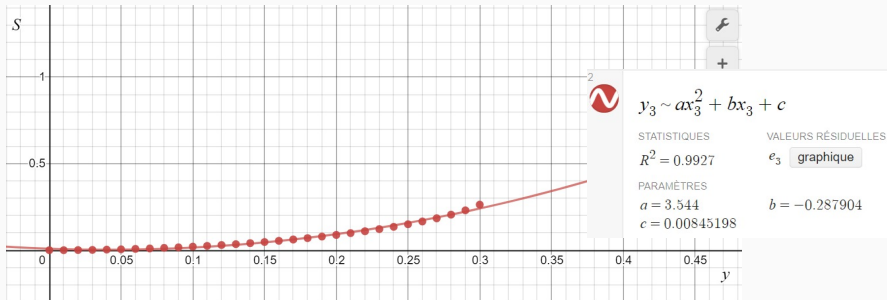
avec : $W(z) = \omega$ tel que $z = \omega e^{\omega}$ (Réciproque de $f(\omega) = \omega e^{\omega}$)

2. Utilisons la méthode de Runge-Kutta d'ordre 4 pour trouver une bonne approximation :

- **Implémentation** de la méthode sur Excel
- **Tracer les points** obtenus sur Desmos
- **Analyse de régression** sur Desmos : trouver les paramètres qui correspondent le mieux aux données

Cas plus complexe

- Approximation numérique avec **la méthode de Runge-Kutta**
- **Régression parabolique** de la forme : ax^2
- Précision de $R^2 = 0.9927$
- **Le miroir a une forme parabolique**



REMARQUE

- Quand $y > 0.31076$, la méthode ne fonctionne plus.
- Pourquoi ?

$$S(y) = -0.5W(-0.303265e^{2y^2}) + y^2 - 0.25$$

avec: $W(z) = \omega$ tel que $z = \omega e^{\omega}$ (Réciproque de $f(\omega) = \omega e^{\omega}$)

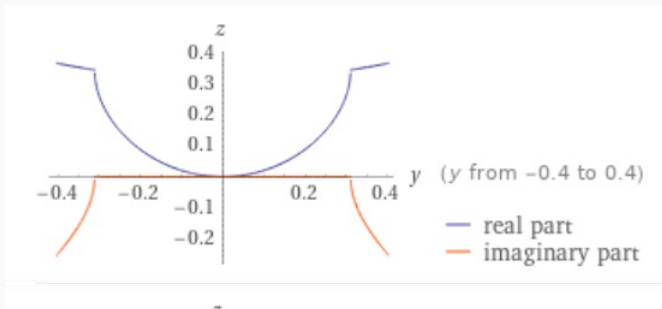
REMARQUE

- Quand $y > 0.31076$, la méthode ne fonctionne plus.
- Pourquoi ?

$$S(y) = -0.5W(-0.303265e^{2y^2}) + y^2 - 0.25$$

avec: $W(z) = \omega$ tel que $z = \omega e^{\omega}$ (Réciproque de $f(\omega) = \omega e^{\omega}$)

- Car la partie imaginaire de la solution est alors non-nulle.



Problème pratique

Dans la pratique, on ne peut pas mesurer $d(y)$ pour chaque y .

Marche à suivre :

1. **Mesurer plusieurs valeurs de y** entre 0 et R
2. **Interpoler ces données** pour former une fonction $d_p(y)$
3. **Résoudre numériquement** l'EDO $S'(y) = \frac{y}{d(y)-S(y)}$, $S(0) = 0$
en utilisant $d_p(y)$ à la place de $d(y)$.

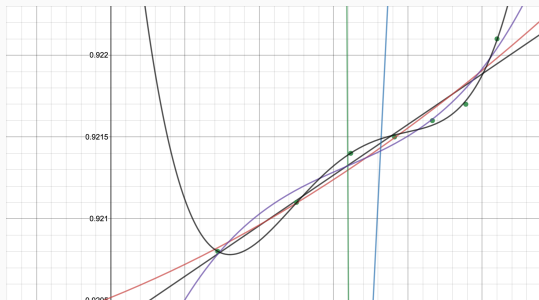
Exemple pratique




- Voici plusieurs valeurs de y d'un miroir de hauteur 0,054 mètre

y (mètres)	$d(y)$ (mètres)
1.44×10^{-2}	0.9208
2.50×10^{-2}	0.9211
3.23×10^{-2}	0.9214
3.82×10^{-2}	0.9215
4.33×10^{-2}	0.9216
4.78×10^{-2}	0.9217
5.20×10^{-2}	0.9221

Exemple pratique

- Interpoler ces données pour former une fonction $d_p(y)$

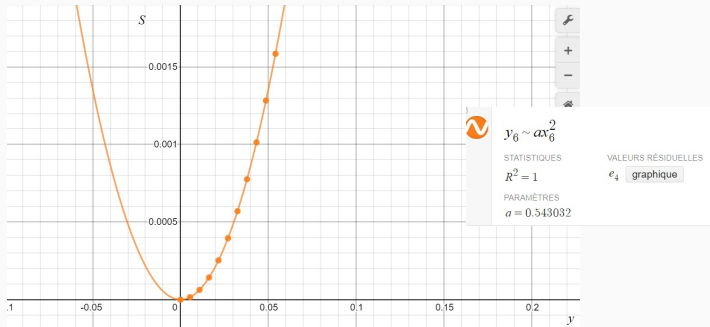


3		$y_1 \sim ax_1^2 + bx_1 + c$
STATISTIQUES		VALEURS RÉSIDUELLES
$R^2 = 0.9591$		e_2 graphique
PARAMÈTRES		
$a = 0.187065$		$b = 0.0184394$
$c = 0.920518$		
4		$y_1 \sim ax_1^3 + bx_1^2 + cx_1 + d$
STATISTIQUES		VALEURS RÉSIDUELLES
$R^2 = 0.9758$		e_5 graphique
PARAMÈTRES		
$a = 38.1481$		$b = -3.61803$
$c = 0.134105$		$d = 0.919489$
5		$y_1 \sim fx_1^4 + dx_1^3 + ax_1^2 + bx_1 + c$
STATISTIQUES		VALEURS RÉSIDUELLES
$R^2 = 0.9986$		e_6 graphique
PARAMÈTRES		
$f = 5632.87$		$d = -723.269$
$a = 32.854$		$b = -0.588738$
$c = 0.924383$		

- $d_p(y) \approx 5632x^4 - 723.3x^3 + 0.9243x^2 - 0.5887x + 0.9243$
- Précision de $R^2 = 0.998$

Exemple pratique

- **Résoudre numériquement l'EDO** en utilisant $d_p(y)$ à la place de $d(y)$. On utilise Runge-Kutta d'ordre 4.



- **Régression parabolique** de la forme : ax^2
- Précision de $R^2 = 1$
- **Le miroir a une forme parabolique**